Polychètes nouvelles de l'Annam

par M. Pierre Fauvel.

Ces deux espèces ont été recueillies par M. Dawydoff.

Halosydna (Alentia) annamita n. sp. — (fig. I).

Diagnose. — Corps aplati, atténué aux deux extrémités. 44-46 sétigères. Prostomium à deux lobes postérieurs arrondis portant deux yeux et à deux lobes antérieurs subcylindriques avec l'autre paire d'yeux insérée en dessous et presque à leur extrémité. Repli nucal peu marqué. Antennes latérales beaucoup plus courtes que les palpes (1/4), à insertion subterminale. Antenne médiane... ? — Palpes lisses, longs, effilés. Un gros tubercule facial. Cirres tentaculaires un peu plus courts que les palpes. Antennes et cirres lisses. Cirres dorsaux subulés, aussi longs que les soies ventrales. Cirres ventraux acuminés, plus courts que les parapodes. 18 pairs d'élytres orbiculaires, molles, incolores, sauf un point foncé sur l'élytrophore, lisses, sans franges ni papilles, insérées sur les segments 2, 4, 5, 7... 23, 26, 29, 32, 35, 38, 41, les dernières recouvrent l'extrémité du corps. — Rame dorsale peu développée, à long acicule saillant engaîné. — Soies dorsales peu nombreuses, capillaires, très minces, très finement denticulées, beaucoup plus courtes que les ventrales (fig. 1, *a*, *b*). Soies ventrales très nombreuses, longues, transparentes, les supérieures minces, allongées, très finement denticulées, à extrémité mousse, les inférieures plus courtes, dilatées, garnies d'assez longues épines, à pointe obtuse finement denticulée et terminée en court rostre faiblement échancré (fig. 1, *c*, *d*, *e*).

L. = 13 à 18 mm., sur 3 à 7, pieds compris.

Coloration, dans l'alcool : Dos rayé de taches transversales brunâtres sur plusieurs segments, suivis de deux blancs, puis de trois pigmentés. Postérieurement, l'alternance est moins régulière et la coloration plus vague. Elytres incolores, sauf tache foncée sur l'élytrophore.

Localités. — Poulo-Condore. Avril 1931. — Thuy-Trian, Nhatrang. Août 1931. — Baie de Tourane. Septembre 1931.

Cette espèce est très voisine de l'*Alentia gelatinosa* dont elle diffère par ses antennes latérales plus courtes, le repli nucal moins marqué, les yeux antérieurs insérés plus en avant et sous les lobes du prostomium, les élytres moins molles et sans papilles et les soies ventrales à rostre moins nettement bifide.

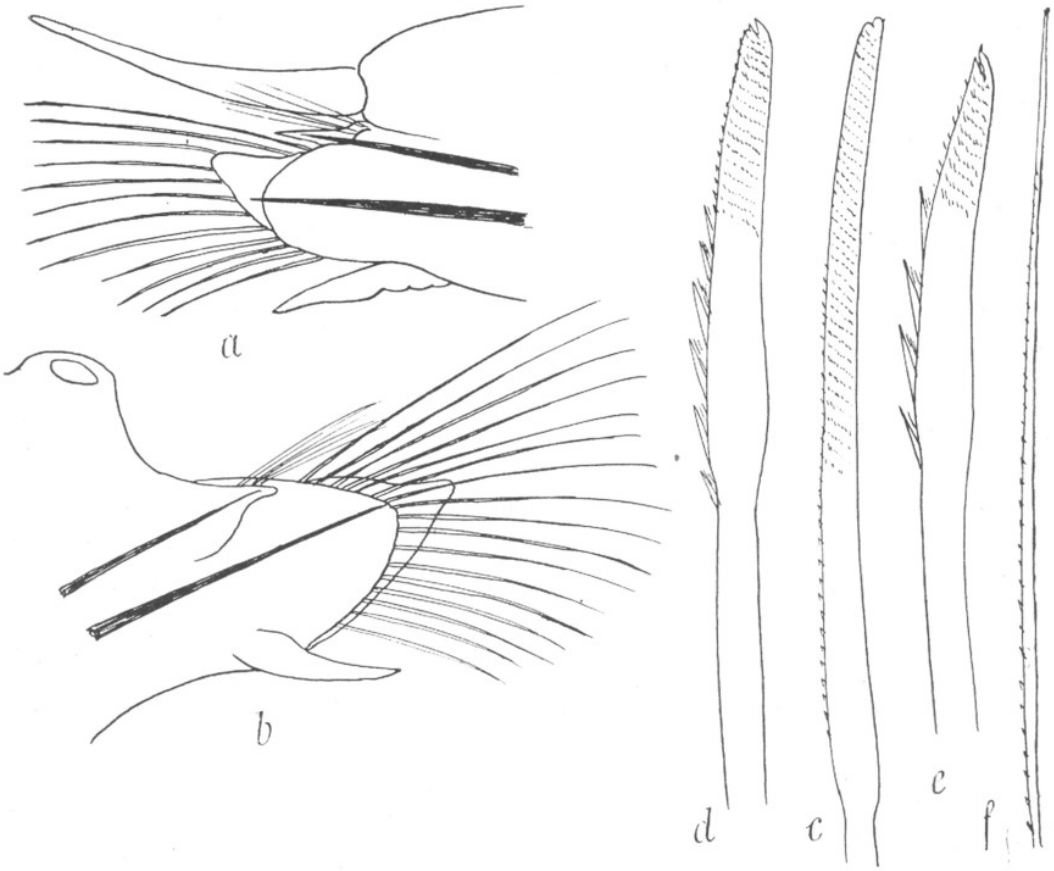

Fig. 1. — *Alentia annamita*. — *a*, parapode cirrigère × 30 ; *b*, parapode élytrigère × 30 ; *c*, *d*, *e*, soies ventrales : supérieure, moyenne, inférieure × 400 ; *f*, soie dorsale × 400.

Nereis torta n. sp. — (fig. 2-3).

Diagnose. — *Heteronereis* ♂. Corps nettement divisé en 3 régions : une antérieure, large, aplatie, à soies atoques, comprenant 14 segments sétigères, une région moyenne épitoque à soies en palette et à lamelles bien développées, une région postérieure atoque, cylindrique, contournée en queue de cochon. — Antennes et palpes rabattus sur la bouche, peu visibles d'en dessus. 4 gros yeux à tache blanchâtre, les antérieurs dirigés un peu en dessous. Prostomium non prolongé en bec (fig. 2, *b*). Cirres tentaculaires postérieurs atteignant, en arrière, le 5e-6e sétigère, les autres paires plus courtes. Cirres dorsaux des 7 premières paires renflés en tête d'oiseau avec un filament terminal (fig. 3, *a*), les 7 suivants simplement subulés

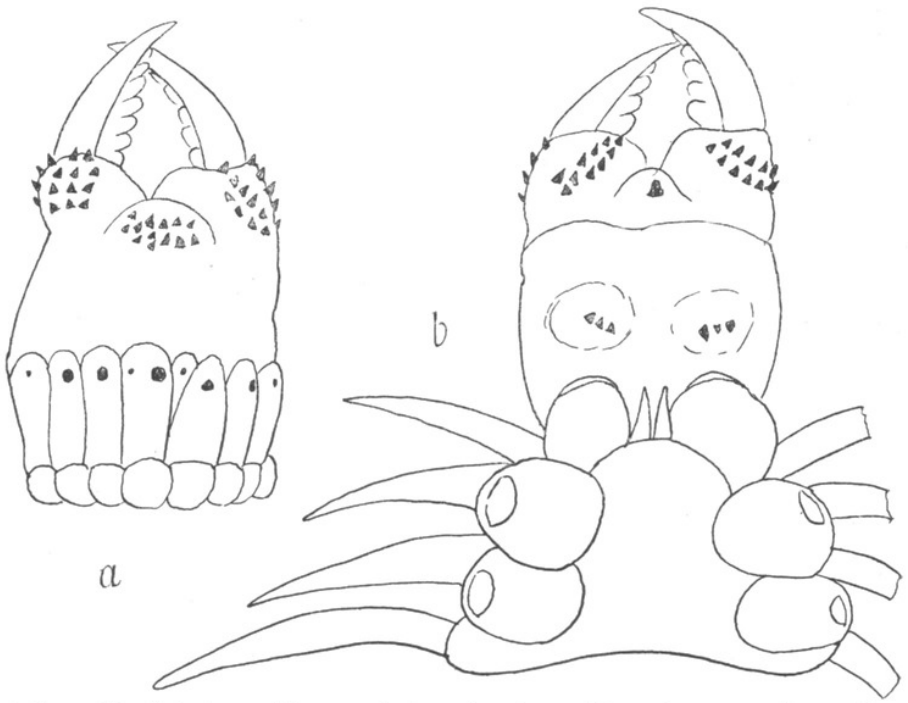

FIG. 2. — *Nereis torta.* — Trompe, *b*, face dorsale × 40 ; *a*, face ventrale × 40.

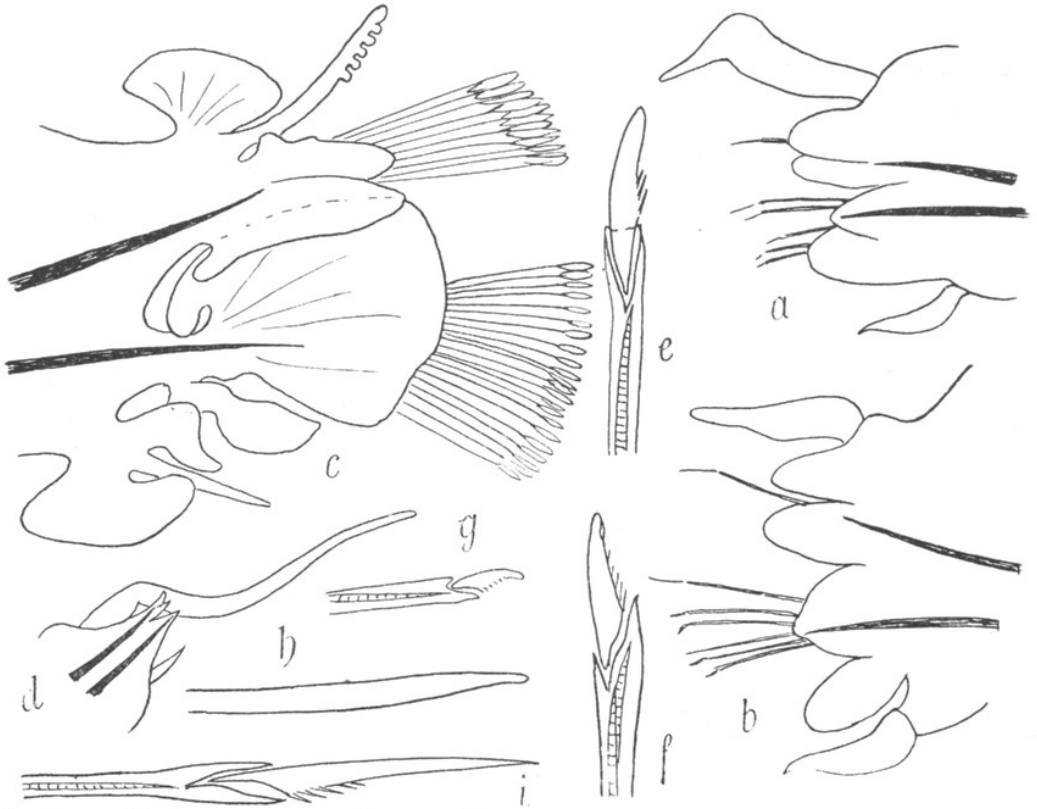

FIG. 3. — *Nereis torta.* — *a*, 7e parapode × 60 ; *b*, 12e parapode × 60 ; *c*, parapode épitoque × 60 ; *d*, parapode de la 3e région × 60 ; *e*, serpe homogomphe dorsale × 400 ; *f*, serpe hétérogomphe ventrale × 400 ; *g*, serpe de la 3e région × 400 ; *h*, acicule de la queue × 400 ; *i*, soie en arête du 10e sétigère × 400.

(fig. 3, *b*), le 14e très petit. Au 15e apparaissent les lamelles pédieuses et les soies en palette. Cirres dorsaux crénelés. La languette supérieure du cirre ventral n'est pas bilobée. Dans la région antérieure, parapodes à deux languettes dorsales sub-égales, courtes, obtuses. Languette inférieure ventrale obtuse, aussi longue que les dorsales. Cirres dorsaux et ventraux courts, subulés. Soies en arête à article terminal court (fig. 3, *i*). Serpes hétérogomphes ventrales à article de longueur moyenne, cilié, terminé en rostre un peu renflé (fig. 3, f). A partir du 10e sétigère, une serpe homogomphe dorsale à article cilié, à rostre allongé, faiblement incurvé (fig. 3, *e*). Dans la région caudale, tordue, parapodes rudimentaires, sans soies en palette, progressivement réduits au long cirre dorsal et à deux petits lobes coniques soutenus par un gros acicule foncé et portant quelques rares et très petites soies en serpe hétérogomphe (fig. 3, *d*, *g*, *h*). — Paragnathes de la trompe coniques : Groupe I = 1 ou 2 l'un derrière l'autre ; II = arcs à deux rangs ; III = un large groupe transversal à trois rangs ; IV = amas triangulaires ; V = O ; VI =, de chaque côté, un rang de 3 ou un petit groupe ovale de 7-8 ; VII-VIII = un seul rang de 10-12 de taille variable (fig. 2, *a*, *b*).

L. = 10 à 13 mm., non compris la queue de 5 à 6 mm.

Coloration, dans l'alcool, région antérieure blanc laiteux, région moyenne jaunâtre, queue plus pâle avec gros acicules foncés.

Localité : Nhatrang. Juin, 1931.

Fauvel, Pierre. 1934. "Polychètes nouvelles de l'Annam [Figs]." *Bulletin du Muse*

´

um national d'histoire naturelle 6(1), 40–43.

View This Item Online: https://www.biodiversitylibrary.org/item/214800
Permalink: https://www.biodiversitylibrary.org/partpdf/234742

Holding Institution
Muséum national d'Histoire naturelle

Sponsored by
Muséum national d'Histoire naturelle

Copyright & Reuse
Copyright Status: In copyright. Digitized with the permission of the rights holder.
Rights Holder: Muséum national d'Histoire naturelle
License: http://creativecommons.org/licenses/by-nc-sa/4.0/
Rights: https://biodiversitylibrary.org/permissions

This document was created from content at the **Biodiversity Heritage Library**, the world's largest open access digital library for biodiversity literature and archives. Visit BHL at https://www.biodiversitylibrary.org.

This file was generated 16 April 2022 at 16:53 UTC